

УДК 621.391.037

## МЯГКОЕ ДЕКОДИРОВАНИЕ ПРОИЗВЕДЕНИЙ КОДОВ ПРОИЗВОЛЬНОЙ РАЗМЕРНОСТИ НА БАЗЕ КОДОВ С ЕДИНСТВЕННОЙ ПРОВЕРКОЙ ЧЕТНОСТИ

© 2013 А.А. Гладких<sup>1</sup>, Н.Ю. Чилихин<sup>1</sup>, И.С. Линьков<sup>2</sup>

<sup>1</sup>Ульяновский государственный технический университет

<sup>2</sup>Ульяновский государственный университет

Поступила в редакцию 21.06.2013

В статье представлены результаты исследований алгоритмов применения модели клеточных автоматов к процедуре итеративных преобразований произведений кодов с единственной проверкой четности. Показана возможность применения подобных кодовых конструкций для образования произведений кодов размерности более трех. Построены обобщения процедуры декодирования с использованием модели клеточного автомата на случай трех пространственных измерений.

Ключевые слова: декодер мягких решений, итеративный процесс, клеточный автомат.

### ВВЕДЕНИЕ

Исследования в области помехоустойчивого кодирования показали достоинства кодов с проверкой на четность (КПЧ), которые наиболее эффективно реализованы в кодах с малой плотностью проверок на четность, в последовательных каскадных конструкциях и в плетеных сверточных кодах [1, 2, 3, 4]. Применение классических конструкций КПЧ с одной проверкой четности в виде произведений нескольких кодов описано в работах [1, 5]. В них особое внимание уделено исследованию кодов размерностей 2D, а коды размерности 3D описаны в работе [6, 7]. Повышенное внимание к подобным системам защиты данных от ошибок объясняется возможностью применения в них простых алгоритмов декодирования, основанных на итеративных преобразованиях индексов мягких решений (ИМР) о принятых символах. Важной особенностью подобных кодов является их структурная приспособленность к использованию в процедуре декодирования перспективных моделей клеточных автоматов [8]. Настоящая работа направлена на распространение возможностей таких моделей на случай, когда конструкция КПЧ составляет размерность 3D и больше.

### ПОСТРОЕНИЕ ПРОИЗВЕДЕНИЙ КОДОВ АДАННОЙ РАЗМЕРНОСТИ

Принцип построения произведений кодов (ПК) заданной размерности заключается в сис-

*Гладких Анатолий Афанасьевич, кандидат технических наук, профессор кафедры «Телекоммуникации».*

*E-mail: a\_gladkikh@mail.ru*

*Чилихин Николай Юрьевич, аспирант.*

*E-mail: javolk89@mail.ru*

*Линьков Иван Сергеевич, аспирант.*

*E-mail: ivanlinkov@yandex.ru*

темном изменении избыточности при наращивании объема информационных блоков. Рассмотрим модели построения ПК произвольной размерности. Пусть кодер избыточного кода формирует слова конечной длины  $n$  из замкнутого множества  $S$ , для которых справедливо правило единственной проверки четности, применяемое к информационным векторам длины  $k$ , тогда  $n = k + 1$ . В общем случае символы этих слов выбираются из конечного алфавита  $A = \{a\}$ , которые приемником фиксируются в виде жестких решений. В общем случае  $a$  принимает значения

из  $GF(2^m)$ , где  $m \in N$ . Обозначим через  $a_0 = (a_0^{(1)}, \dots, a_0^{(n)})$  переданную по каналу последовательность,

а через  $a_s = (a_s^{(1)}, \dots, a_s^{(n)})$ ,  $s = \overline{1, S}$  другие последовательности рассматриваемого множества. Задача декодера состоит в вычислении функции правдоподобия  $C_0$  для последовательности  $a_0$  такой, что  $C_0 > C_s$  для всех последовательностей из  $S$ .

При передаче сигналов  $a_0^{(i)}$  по каналу с помехами на входе приемника наблюдается вектор  $w^{(i)} = (w_1^{(i)}, \dots, w_n^{(i)}) = a_0^{(i)} + l^{(i)}$ , где  $l^{(i)}$  – вектор шума, компоненты которого – независимые гауссовские величины с нулевым математическим ожиданием и дисперсией  $N_0/2$ . Условная плотность распределения вектора  $w^{(i)}$ , при  $m = 1$  наблюдаемого на выходе канала, имеет вид

$$f(w^{(i)} | a_0^{(i)}) = (\pi N_0)^{-1/2} \exp \left\{ - \frac{(w - E^{1/2})^2}{N_0} \right\}, \quad (1)$$

где  $E$  – энергия сигнала, приходящаяся на один бит.

В общем случае порождающая матрица тривиального КПЧ имеет вид  $G = [I_{k \times k} P_{k \times 1}]$ , где  $I_{k \times k}$  – единичная матрица, а  $P_{k \times 1}$  – единичный вектор-столбец. Для подобного кода при невыполнении условий четности исправление ошибки выражается в инвертировании символа, имеющего наименьший ИМР [1, 8]. Для получения ПК из двух тривиальных КПЧ размерности  $2D$  кодер формирует из  $k$  векторов-строк квадратную матрицу  $A_k = \|a_{x0z}\|_1^k$ , где  $x = \overline{1, k}$ ,  $z = \overline{1, k}$  и только для данной размерности положим  $y = 0$ . Таким образом, для удобства последующих рассуждений матрица  $A_k$  рассматривается в плоскости  $x0z$  пространственной системы координат. Матрица  $A_k$  путем проверок четности по векторам-строкам и векторам-столбцам

преобразуется в матрицу вида  $A_n = \|a_{x0z}\|_1^n$ .

Очевидно, что в  $A_k$  общее число информационных элементов достигает значения  $k^2$ , тогда как число проверочных разрядов в  $A_n$  будет равно  $r_{2D} = 2k + 1$ . Для выявления общих закономерностей формирования избыточных символов ПК произвольной размерности целесообразно значение  $r_{2D}$  разделить на две составляющие:

$r_{2D}^{up} = 2k$ , определяющую избыточность по про-

веркам информационных разрядов, и  $r_{2D}^{nn} = 1$  (проверка проверок) выражающую избыточность для вектора-столбца и вектора-строки. В последующем избыточность, непосредственно зависящую от проверок информационных разрядов, обозначим символом  $\langle \bullet \rangle$ . Проверка от проверочных разрядов представим символом  $\langle \langle \bullet \rangle \rangle$ . Матричная форма описанного кода имеет вид:

$$A_n = \begin{pmatrix} a_{101} & a_{102} & \dots & a_{10k} & \langle a_{10n} \rangle \\ a_{201} & a_{202} & \dots & a_{20k} & \langle a_{20n} \rangle \\ \dots & \dots & \dots & \dots & \dots \\ a_{k01} & a_{k02} & \dots & a_{k0k} & \langle a_{k0n} \rangle \\ \langle a_{n01} \rangle & \langle a_{n02} \rangle & \dots & \langle a_{n0k} \rangle & \langle \langle a_{n0n} \rangle \rangle \end{pmatrix} \quad (2)$$

Общая избыточность оценивается выражением  $r_{2D} = r_{2D}^{up} + r_{2D}^{nn} = 2k + 1$ .

Структура ПК в  $3D$  образуется при  $y \neq 0$ , если следом за матрицей  $\|a_{x1z}\|_1^n$  по координате  $y$  дополнительно разместить новую матрицу  $\|a_{x2z}\|_1^n$  и так до значения  $y = n - 1$ , а затем на

позиции  $y = n$  сформировать матрицу проверок  $\|a_{xnz}\|_1^n$ . Следовательно, кодер формирует  $k$  матриц  $A_n$  размерности  $2D$ , получая совокуп-

ность матриц  $A_n = \|a_{x1z}\|_1^n$ ,  $A_n = \|a_{x2z}\|_1^n$ , ...,  $A_n = \|a_{xkz}\|_1^n$ . Фиксируя  $x$  и  $z$ , кодер оценивает четность выбранных элементов, изменяя  $y$ :  $a_{x1z} \oplus a_{x2z} \oplus \dots \oplus a_{xkz} = a_{xnz}$ , и формирует матрицу проверок  $\langle A_n \rangle = \|a_{xnz}\|_1^n$  по всевозмож-

ным  $x$  и  $z$ . Полученная конструкция в пространстве координат  $x, y$  и  $z$  образует куб из информационных и проверочных элементов (в общем случае прямоугольный параллелепипед), который назовем кадром. Порождающая матрица этого кода определяется кронекеровским произведением матриц  $G$  исходных кодов. Введенная в код избыточность (относительная скорость кода)  $R$  оценивается соотношением

$$R = \prod_{q=1}^D (k_q / n_q) = \prod_{q=1}^D (1 - 1/n_q),$$

а минимальное кодовое расстояние для описанных конструкций

$$\text{определяется как } d_{min} = \prod_{q=1}^D d_q = 2^D.$$

Применяя последовательно это правило несколько раз, можно получить широкий диапазон длин кодов. Например, код размерности  $4D$  получают из  $n$  кадров кода  $3D$ , при этом новые проверочные символы формируют соответствующим сложением одноименных матриц размерности  $2D$ , взятых по одной из всех кадров  $3D$ . Код размерности  $4D$  образуется путем объединения  $k$  совокупностей с образованием матричной структуры вида:

$$\begin{matrix} A_n^{11} = \|a_{x1z}\|_1^n & A_n^{12} = \|a_{x1z}\|_1^n & \dots & A_n^{1k} = \|a_{x1z}\|_1^n & \langle A_n^{1n} \rangle = \|a_{x1z}\|_1^n \\ A_n^{21} = \|a_{x2z}\|_1^n & A_n^{22} = \|a_{x2z}\|_1^n & \dots & A_n^{2k} = \|a_{x2z}\|_1^n & \langle A_n^{2n} \rangle = \|a_{x2z}\|_1^n \\ \dots & \dots & \dots & \dots & \dots \\ A_n^{k1} = \|a_{xkz}\|_1^n & A_n^{k2} = \|a_{xkz}\|_1^n & \dots & A_n^{kk} = \|a_{xkz}\|_1^n & \langle A_n^{kn} \rangle = \|a_{xkz}\|_1^n \\ \langle A_n^{n1} \rangle = \|a_{xnz}\|_1^n & \langle A_n^{n2} \rangle = \|a_{xnz}\|_1^n & \dots & \langle A_n^{nk} \rangle = \|a_{xnz}\|_1^n & \langle \langle A_n^{nn} \rangle \rangle = \|a_{xnz}\|_1^n \end{matrix} \quad (3)$$

Необходимо отметить, что в такой конструкции появляется возможность псевдослучайного извлечения матриц  $2D$  из кадров, определяющих информационную совокупность данных разбитых на кадры  $3D$ . В (3) обозначение вида  $A_n^{ij}$  показывает, что берется матрица  $\|a_{xyz}\|_1^n$  с номером  $i$  из кадра с номером  $j$  с образованием проверочных

**Таблица 1.** Распределение избыточных элементов некоторых произведениях кодов

Размерность кода	Значение $k$	Значение $n$	$d_{\min}$	Избыточность по информационным элементам	Избыточность порядка 1	Избыточность порядка 2	Избыточность порядка 3
1D	$k$	$k + 1$	2	1	0	0	0
2D	$k^2$	$(k + 1)^2$	$2^2 = 4$	$2k$	1	0	0
3D	$k^3$	$(k + 1)^3$	$2^3 = 8$	$3k^2$	$3k$	1	0
4D	$k^4$	$(k + 1)^4$	$2^4 = 16$	$4k^3$	$6k^2$	$4k$	1
5D	$k^5$	$(k + 1)^5$	$2^5 = 32$	$5k^4$	$10k^3$	$10k^2$	$5k$

соотношений вида  $\langle \bullet \rangle$  и  $\langle \langle \bullet \rangle \rangle$ . Распределение избыточных элементов ПК представлено в табл. 1.

Для произвольных D полная избыточность определяется соотношением

$$(k + 1)^D - k^D = \binom{D}{1}k^{D-1} + \binom{D}{2}k^{D-2} + \dots + \binom{D}{D-1}k + 1. \quad (4)$$

Декодер приемника при любой размерности КПЧ обрабатывает только совокупность кадров, поэтому его сложность однозначно определяется сложностью декодирования кадра. Характеристики некоторых ПК представлены в табл. 2. Естественно, код 1D не является произведением кодов, но параметры других кодов, приведенных в этой таблице кратны его  $k$  и  $n$ . В графе таблицы с символом  $R \downarrow$  представлены относительные скорости кодов при условии выкалывания избыточных символов порядка один и более, иначе тех символов, которые определяют структуру избыточных кадров  $\langle \langle \bullet \rangle \rangle$ .

Анализ показывает, что характеристики приведенных ПК сопоставимы с турбокодами или кодами с малой плотностью проверок на четность [3], но обладают более емким технологическим ресурсом. Например, при организации адаптивных систем обмена данными, при использовании сложных видов модуляции, при реализации принципа выкалывания избыточных данных или в процедуре перемежения составляющих кадров.

**ПРОЦЕДУРА ДЕКОДИРОВАНИЯ  
НА ОСНОВЕ МОДЕЛИ КЛЕТОЧНОГО  
АВТОМАТА**

Представление КП в виде матриц позволяет использовать в процедуре декодирования достаточно развитый аппарат моделей клеточных ав-

томатов (КА). Декодер представляется как бинарный математический объект с дискретным пространством и временем. Для исключения роста сложности декодера КА рассматривается на плоскости, т.е. обрабатывает массивы даны в объеме, представленных в (2). Это открывает возможность параллельной обработки подобных массивов данных в плоскостях  $0yz$ ,  $0xz$  и  $0xy$  с последующим сведением результатов по принципу декодирования в целом.

При мягком декодировании каждый  $i$ -й бит,  $i = \overline{1, n}$  представляется в виде жесткого решения, сопровождающегося ИМР в виде некоторого вещественного  $\lambda_i$ ,  $\lambda = \overline{\lambda_{\min}, \lambda_{\max}}$ , определяемого в зависимости от (1) [9, 10]. Обозначая жесткое решение 0 через знак “-”, а решение 1 через “+”, для кортежа двоичных данных ...1 0 0 1 1... получают последовательность вида  $\dots + \lambda_i - \lambda_{i+1} - \lambda_{i+2} + \lambda_{i+3} + \lambda_{i+4} \dots$ , которая обрабатывается мягким декодером по правилу:

$$L(\lambda_{ki}) + L(\lambda_{pc}) \approx (-1)^{1-m} \times \text{sign}[L(\lambda_{ki})] \times \text{sign}[L(\lambda_{pc})] \times \min(|L(\lambda_{ki})|, |L(\lambda_{pc})|) \quad (5)$$

где функция  $\text{sign}(\bullet)$  возвращает знак своего аргумента;  $L(\lambda_{ki})$  – ИМР символа, участвующего в формировании проверочного бита;  $L(\lambda_{pc})$  – ИМР проверочного символа;  $m$  – число исключенных из анализа положительных ИМР, входящих в корректируемый вектор [5]. Применение последнего параметра способствует росту производительности декодера за счет снижения доли неинформативных итераций. Бинарность КА определяется совокупностью знаков “-” и “+”, а диск-

**Таблица 2.** Параметры произведений кодов ряда размерностей

Размерность кода	Значение $k$	Значение $n$	$d_{\min}$	$R$	$R \downarrow$
1D	8	9	2	0,89	-
2D	64	81	4	0,79	0,80
3D	512	729	8	0,70	0,73
4D	4096	6561	16	0,62	0,67
5D	32768	59049	32	0,55	0,67

ретные состояния зависят от значений  $\lambda_i$ . Правило формирования целочисленных  $\lambda_i$  для двоичных видов модуляции определяется выражением

$$\lambda_i(w) = \left\lfloor \frac{\lambda_{max}}{\rho M_{mn}} \times w \right\rfloor, \quad (6)$$

где  $M_{mn}$  – математическое ожидание модулируемого параметра и  $0 < \rho < 1$  – интервал стирания [9]. За конечное число шагов и заданных начальных условиях декодер должен достичь пространственно-однородного состояния, при котором среди элементов матриц будет допустимое число ошибочных. В классическом КА в момент времени  $t_0$  каждая обрабатываемая клетка окружена соседними клетками, находящимися в своих уникальных состояниях. Для оценки состояния произвольной клетки декодера целесообразно использовать определение окрестности клетки по Нейману, которую в данном приложении назовем расширенной. Расширение происходит за счет тех символов, которые определяют выполнение четности для данной строки (столбца). Процедура (5) способствует повышению значения  $C_0$ , но ее исход не является однозначным. Обозначим через (+pc) выполнение условия четности на приемной стороне для принятой группы символов. В случае нарушения принципа четности приемник фиксирует значение (-pc). Работу декодера с системой итеративных преобразований и проверками на четность целесообразно описывать целевой функцией вида

$$Q\{S; M(\lambda); \sigma(\lambda)\} \Rightarrow \underset{S \rightarrow (-pc)}{sign(S)} \max_{|M(\lambda)|} \min_{\sigma(\lambda)}, \quad (7)$$

где  $S$  – значение четности по всем информационным разрядам принятой группы символов; параметр  $|M(\lambda)|$  – абсолютная величина среднего значения кортежа мягких решений этих символов; параметр  $\sigma(\lambda)$  является показателем разброса мягких решений, вычисляемым по правилу:

$$\sigma(\lambda) = (1/n - 1) \sum_{i=1}^n (|M(\lambda)| - |\lambda_i|)^2. \quad (8)$$

Исследования показали, что по отдельности представленные параметры не являются информативными и не позволяют оценить очередность обработки нескольких кодовых векторов в системе с произведением кодов [6]. В соответствии с  $Q\{\bullet\}$  декодер на первом шаге декодирования выполняет проверку четности, на втором шаге обработки данных оценивает среднее значение принятых ИМР символов и в последнюю очередь определяет степень разброса зафиксированных приемником индексов. Максимальное значение  $|M(\lambda)|$  соответствует высокой достоверности принятых символов, однако может быть получено множество одинаковых значений  $|M(\lambda)|$  при различной совокупности оценок, поэтому дополнительно необходимо оценивать параметр  $\sigma(\lambda)$ . Если возникает ситуация неопределенности, когда  $|M_i(\lambda)| = |M_j(\lambda)|$  при  $i \neq j$ , то приоритетной

для последующей обработки данных является комбинация, у которой  $\sigma_i(\lambda) < \sigma_j(\lambda)$ . Это полностью отвечает принципу распространения доверия в ходе декодирования группы кодовых комбинаций [6]. Работу декодера рассмотрим на примере обработки матрицы размерности  $4 \times 4$ , параметры которой представлены в табл. 3, при этом в числителе обрабатываемой клетки показаны исходные данные, в знаменателе (выделены жирно) результаты работы декодера.

В каждой матрице 2D имеются сведения о значениях  $|M(\lambda)|$  и  $\sigma(\lambda)$ , определенные для всего множества попавших в нее оценок  $\{\lambda_{ij}\}$ . Эти данные используются для оценки очередности обработки матриц 2D в составе кадра. В табл. 2 представлен пример обработки клетки с расширенными окрестностями Неймана, однако в ряде случаев горизонтальная или вертикальная со-

**Таблица 3.** Пример обработки варианта данных матрицы 2D (исходные данные/результат первого шага)

Параметры	$\lambda_{1j}$	$\lambda_{2j}$	$\lambda_{3j}$	$\lambda_{pc}$	(pc)	$ M(\lambda) $	$\sigma(\lambda)$
$\lambda_{i1}$	+5	-1	+7	+7	-	5,00	8,00
$\lambda_{i2}$	-7	+6	+7	-7	+	6,75	0,25
$\lambda_{i3}$	+6	+3	+4	+2/-5	+/-	3,75/4,50	2,92/1,67
$\lambda_{pc}$	-7	-7	+6	+7	+	6,75	0,25
(pc)	+	+	+	-/+	2/2		
$ M(\lambda) $	6,25	4,25	6,00	5,75/6,50		5,56/5,75	
$\sigma(\lambda)$	0,92	7,58	2,00	6,25/1,00			3,99/3,13

ставляющие могут отсутствовать, тогда для коррекции данных применяется алгоритм (5).

В примере на основе сравнительных данных для всех  $Q\{\bullet\}$  первоначально обрабатывается столбец с  $\lambda_{pc}$ . Используя (5), в декодере для выбранного столбца формирует последовательность  $-7 +2 | +7$  (вертикальной чертой выделен проверочный разряд  $+7$ , и  $m = 1$ ). После выполнения первого шага итеративных преобразований для выделенной последовательности будет получено

$[+2 - 7] + 7 = -5$  – новая апостериорная оценка для (-7);

$[-7 + 2] + 7 = -5$  – новая апостериорная оценка для (+2);

После второго шага итераций

$[+2 - 5] + 7 = -3$  – вторая апостериорная оценка для (-7);

$[-7 - 5] + 7 = -7$  – вторая апостериорная оценка для (+2).

Результаты коррекции ИМР столбца:

$$+7(-7-3)(+2-7)+7 = +7-10-5+7.$$

Значения индексов больше  $|\lambda_{ij}| > 7$  в блоке заменяются на значение  $|7|$  для сохранения разрядной сетки процессора приема при представлении ИМР. Результаты первого шага обработки данных показаны в таблице 3 в виде знаменателей дробей преобразованных данных. Для последующей обработки в соответствии с  $Q\{\bullet\}$  выбирается строка с  $\lambda_{i1}$ .

Декодер формирует последовательность  $+5 -1 | +7$  при  $m = 1$ . После первого шага итераций нового цикла будет получено

$[-1 + 5] + 7 = +4$  – новая апостериорная оценка для (+5);

$[+5 - 1] + 7 = +4$  – новая апостериорная оценка для (-1);

Второй шаг итерации

$[-1 + 4] + 7 = +3$  – вторая апостериорная оценка для (+5);

$[+5 + 4] + 7 = +7$  – вторая апостериорная оценка для (-1).

Результаты коррекции ИМР первой строки:

$$(+5+3)(-1+7)+7 = +7+6+7+7.$$

Поскольку для новых данных отрицательные значения для параметра ( $pc$ ) находятся в строке и столбце, необходимо осуществить коррекцию только символа  $+3$ , изменив его знак на противоположный. Результат коррекции приведен в табл. 5. Для улучшения общих параметров обрабатываемой матрицы допустимо повышение ИМР символа, находящегося в единственном числе на пересечении строки и столбца.

Подобным образом параллельно обрабатываются другие матрицы 2D. Учитывая однородность данных, одинаковые простые правила перехода и малое число связей между элементами, такие процессы удачно проектируются на архитектуру существующих параллельных вычислительных комплексов. На рис. 1 представлены структуры ошибок, конфигурация которых может возникнуть при обработке матриц 2D. Клетки с серым фоном (номера 1,..., 4) восстанавливаются за счет использования (5) или перекрестных проверок, конфигурации ошибок вида 5, 6 и 7. восстановленными в рамках одной матрицы размерности 2D восстановленными быть не могут.

Оценивается вероятность подобного события сверху для КПЧ 2D выражением вида

$$p_o \leq \frac{2p_b^2}{n^2} \times (1-p_b)^{n-2} \times \frac{1}{(n-1)}, \quad (9)$$

где  $p_b$  – вероятность ошибки на бит.

Таблица 4. Пример обработки варианта данных матрицы 2D (второй шаг/результат второго шага)

Параметры	$\lambda_{1j}$	$\lambda_{2j}$	$\lambda_{3j}$	$\lambda_{pc}$	( $pc$ )	$ M(\lambda) $	$\sigma(\lambda)$
$\lambda_{i1}$	+5/+7	-1/+6	+7	+7	-/+	5,00/6,75	8,00/0,25
$\lambda_{i2}$	-7	+6	+7	-7	+	6,75	0,25
$\lambda_{i3}$	+6	+3	+4	-5	-	4,50	1,67
$\lambda_{pc}$	-7	-7	+6	+7	+	6,75	0,25
( $pc$ )	+	+/-	+	+	2/2		
$ M(\lambda) $	6,25/6,75	4,25/5,50	6,00	6,50		5,75/6,19	
$\sigma(\lambda)$	0,92/0,25	7,58/3,00	2,00	1,00			3,13/1,49

Таблица 5. Итоговые данные

Параметры	$\lambda_{1j}$	$\lambda_{2j}$	$\lambda_{3j}$	$\lambda_{pc}$	( $pc$ )	$ M(\lambda) $	$\sigma(\lambda)$
$\lambda_{i1}$	+7	+6	+7	+7	+	6,75	0,25
$\lambda_{i2}$	-7	+6	+7	-7	+	6,75	0,25
$\lambda_{i3}$	+6	+/-3	+4	-5	+	4,50	1,67
$\lambda_{pc}$	-7	-7	+6	+7	+	6,75	0,25
( $pc$ )	+	+	+	+	2/2		
$ M(\lambda) $	6,75	5,50	6,00	6,50		6,19	
$\sigma(\lambda)$	0,25	3,00	2,00	1,00			1,49

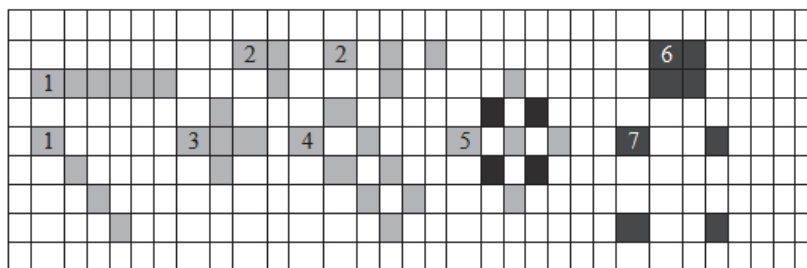


Рис. 1. Структуры ошибочных символов в модели клеточного автомата

**ВЫВОДЫ**

Применение кодов с единственной проверкой четности в современных системах обмена данными позволяет унифицировать процедуру мягкого декодирования кодовых векторов в составе кодов любой допустимой размерности за счет применения моделей клеточных автоматов, относящихся к NP-полным задачам, и представления кодов в виде наращиваемых по единственному принципу для выбранного  $k$  конструкций, которые в наибольшей степени приспособлены к современным сетевым технологиям при передаче блоков и ячеек данных.

Открывается возможность параллельной обработки матриц размерности 2D, представляющих кадр данных с последующим сведением отдельных результатов в итоговый результат по принципу декодирования кодового вектора “в целом”. Это в полной мере отвечает организации работы современных процессоров, построенных на ПЛИС.

Анализ выражения (9) показывает, что в условиях низких отношений сигнал-шум вероятность образования невосстанавливаемой структуры ошибок оказывается величиной второго порядка малости. Вероятность образования подобной структуры ошибок в матрице 3D оказывается исчезающе малой, следовательно, невосстанавливаемая структура ошибок в рамках одной матрицы 2D с высокой вероятностью

исправляется за счет перекрестных проверок в составе кадра.

*Работа выполнена в рамках государственного задания Министерства образования и науки Российской Федерации.*

**СПИСОК ЛИТЕРАТУРЫ**

1. Галлагер Р. Теория информации и надежная связь [пер. с англ., под ред. М.С. Пинскера и Б.С. Цыбакова]. М.: Сов. радио, 1974. 568 с.
2. Галлагер Р. Дж. Коды с малой плотностью проверок на четность. М.: Мир, 1966. 144 с.
3. Зяблов В.В. Анализ корректирующих свойств итерированных и каскадных кодов // Передача цифровой информации по каналам с памятью. М.: Наука, 1970. С. 76–85.
4. Кондрашов К.А., Зяблов В.В. Конструкция плетеных сверточных кодов на базе кодов проверки на четность с одним проверочным символом // Информационно-управляющие системы. 2011. № 5. С. 53-60.
5. Морелос-Сарагоса Р. Искусство помехоустойчивого кодирования. Методы, алгоритмы, применение. М.: Техносфера, 2005. 320 с.
6. Hunt A. Hyper-Codes: High-Performance Low-Complexity Error-Correcting Codes, Master’s Thesis, Carleton University, Ottawa, Canada, defended March 25, 1998.
7. Данилов С.В. Аналитическая модель двоичной последовательности с блочным турбокодированием // Научно-технические ведомости СПбГПУ. 2012. № 8. Т. 13. С. 14–22.
8. Информационная безопасность: методы шифрова-

- ния [под ред. Е.М. Сухарева]. Кн.7. М: Радиотехника, 2011. 208 с.
9. *Гладких А.А.* Основы теории мягкого декодирования избыточных кодов в стирающем канале связи. Ульяновск: УлГТУ, 2010. 379 с.
10. *Гладких А.А., Линьков И.С.* Оптимизация процедуры итеративных преобразований данных // Автоматизация процессов управления. 2012. № 3(29). С. 3 – 7.

**SOFT DECODING OF PRODUCTS OF ARBITRARY DIMENSION CODES  
BASED ON CODES WITH SINGLE PARITY CHECKING**

© 2013 A.A. Gladkikh<sup>1</sup>, N.YU. Chilikhin<sup>1</sup>, I.S. Lin'kov<sup>2</sup>

<sup>1</sup>Ulyanovsk State Technical University

<sup>2</sup>Ulyanovsk State University

This paper presents the research of cellular automata algorithms in application to the iterative transformation procedure for product codes with the singular parity-check. The possibility of using similar codes constructions for the over 3-dimensional product codes formation is shown. There is also generalized the decoding procedure with the cellular automata model for the 3D case.

Key words: soft-decision decoder, iterative process, cellular automata.

---

*Anatolij Gladkikh, Candidate of Technics, Professor at the Telecommunications Department. E-mail: a\_gladkikh@mail.ru  
Nikolaj Chilikhin, Graduate Student. E-mail: javolk89@mail.ru  
Ivan Lin'kov, Graduate Student. E-mail: ivanlinkov@yandex.ru*